

ЕКСПЕРИМЕНТАЛЬНЫЕ ИССЛЕДОВАНИЯ НАГРУЖЕННОСТИ СИСТЕМЫ ПОДВЕСКИ ИСПОЛНИТЕЛЬНОГО ОРГАНА ПРОХОДЧЕСКОГО КОМБАЙНА КПД

Мизин В.А., инженер, Донгипроуглемаш

Установлены закономерности формирования нагруженности привода и элементов системы подвески исполнительного органа проходческого комбайна

It is established the regularities of definition of loads on gear and elements of suspension system of acting unit of road-header

Проблема и ее связь с научными или практическими задачами. Магистральным направлением современного развития угольной отрасли является создание угледобывающих предприятий типа «лава-шахта». Это означает необходимость доведения добычи из очистного забоя до 10000 т/сутки и более. На сегодня совместными усилиями ученых института «Донгипроуглемаш» и машиностроителей Украины созданы современные образцы добычной техники мирового класса. Важнейшим условием реализации высоких возможностей новой добычной техники является обеспечение необходимого фронта работ, то есть своевременная подготовка очистных забоев. Разработка высокопроизводительной и надежной проходческой техники требует дополнительных теоретических и экспериментальных исследований по обоснованию рациональных параметров их силовых систем [1].

Анализ исследований и публикаций. Обоснованию рациональных параметров проходческих комбайнов и их силовых систем посвящено значительное количество научных работ [2, 3, 4 и др]. Вместе практически отсутствуют данные о фактических нагруженности системы подвески исполнительного органа (ИО) проходческих комбайнов (ПК) с аксиальными коронками. Поэтому институтом «Донгипроуглемаш» были проведены, под руководством автора, экспериментальные исследования нагруженности проходческого комбайна при его работе в реальных условиях.

Постановка задачи. Цель исследования – установление закономерностей формирования нагруженности привода и элементов системы подвески ИО ПК при его работе в различных режимах раз-

рушения забоя, необходимых для обоснования исходных данных для их расчета на прочность и долговечность элементов этих систем.

Задачи исследования:

- разработать методики проведения и обработки результатов экспериментальных исследований нагруженности системы подвески ИО ПК КПД;

- выявить закономерности формирования нагруженности привода и элементов системы подвески ИО ПК.

Изложение материала и результаты. Для проведения шахтных исследований была разработана методика, которая предусматривала фиксацию в различных режимах работы комбайна с включенными и отключенными гидрозажимами в направляющих выдвижения стрелы ИО следующих величин (см. рис.1):

мощность электродвигателя ИО на базовой линии, N_d ; давление распора (давление в гидрозажимах), P_r ; давление в поршневой полости гидроцилиндра вертикальной подачи ИО, P_v ; давление в штоковой полости гидроцилиндра вертикальной подачи ИО, P_h ; давление в поршневой полости левого гидроцилиндра горизонтальной подачи ИО, P_p ; давление в штоковой полости левого гидроцилиндра горизонтальной подачи ИО, P_{pl} ; усилие в переднем штоке опоры телескопа ИО, F_{pl} ; усилие в заднем штоке опоры телескопа ИО, F_z .

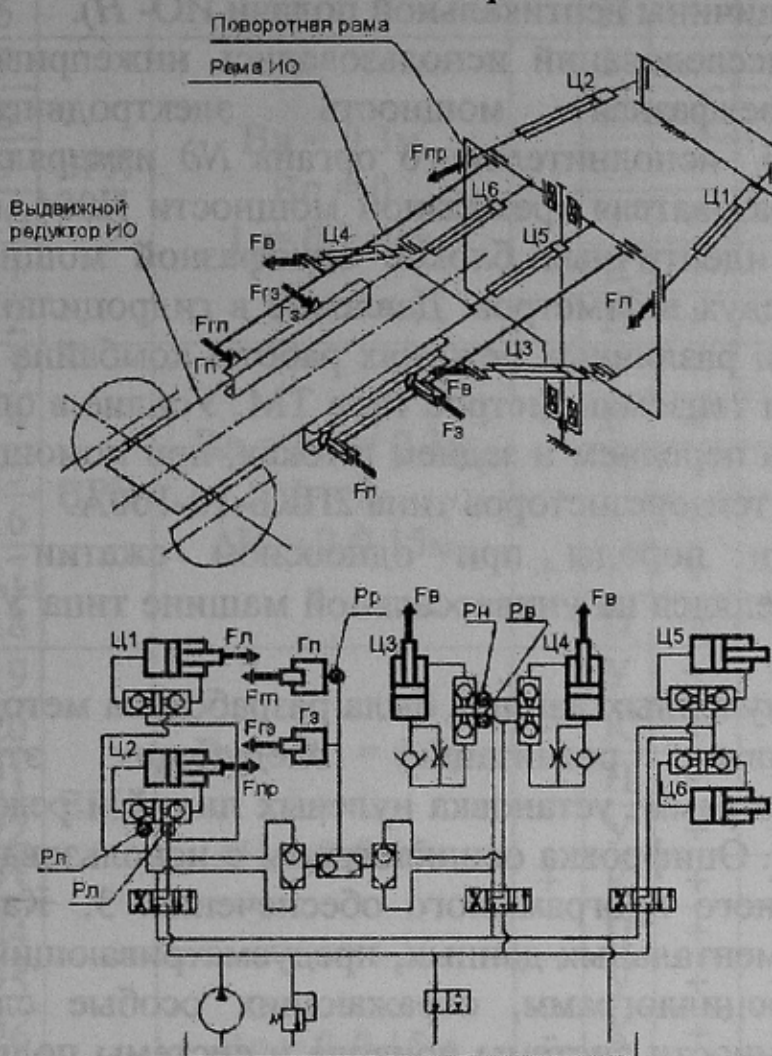


Рисунок 1 – Схема нагружения системы подвески ИО и установки датчиков

Предусмотренными методикой режимами разрушения забоя комбайном при включенных гидрозажимах являются (см. табл. 1):

- по углю (У): зарубка, разрушение влево, вправо;
- по почве (П): зарубка, разрушение влево, вправо;
- по кровле (К): зарубка, разрушение влево, вправо, снизу вверх, сверху вниз.

План проведения шахтных исследований нагруженности системы подвески ИО ПК КПД (табл. 1) предусматривает фиксацию, в режимах бокового (вправо, влево – БРП, БРЛ) и вертикального (вверх, вниз – ВРВ, ВРН) резов и фронтальной зарубки (ФЗ), вышенназванных величин при заданных параметрах стружки ИО (величины заглубления в массив левой и правой коронок, соответственно – B_l , B_p ; длины бокового реза – L ; величины вертикальной подачи ИО – H).

Для проведения исследований использовались нижеприведенные средства. Трехфазная мощность электродвигателя 2ЭДКОФ(В)250LB4У2.5 исполнительного органа N_d измерялась с использованием преобразователя трехфазной мощности П004, который состоит из двух идентичных блоков однофазной мощности, включаемых по схеме двух ваттметров. Давление в гидроцилиндрах поворота и подъема при различных режимах работы комбайна КПД измерялось при помощи тензоманометров типа ТМ. Усилие в опорах рамы ИО измерялось на переднем и заднем штоках, при помощи наклеенных проволочных тензорезисторов типа 2ПКБ-10-100А.

Предел прочности породы при одноосном сжатии ($\sigma_{сж}$) ГОСТ 21153.2-84 определялся на универсальной машине типа УММ-50.

Для обработки полученных данных была разработана методика, которая предусматривает реализацию следующих этапов:

1. Расшифровка осцилограмм, установка нулевых линий и режимов работы ИО комбайна.
2. Оцифровка осцилограмм с использованием специально разработанного программного обеспечения.
3. Качественный анализ экспериментальных данных, предусматривающий выявление фрагментов осцилограмм, отражающих особые случаи формирования нагруженности системы привода и системы подвески ИО.
4. Статистическая обработка как случайных процессов реализаций мощности электродвигателя ИО (N_d) и усилий в системе подвески.

Таблиця 1 – План экспериментальних досліджень комбайна КПД

№ опыта	РЕЖИМ	Факторы		Фиксируемые величины								
		Параметры стружки ИО	ГЗ	Массив	Nд	Pр	Pв	Pн	Pп	Pл	Fз	Fп
1	БРП	Vл = 0 Vп = 0.3м L = 0-Lmax	-	У	+	+				+	+	+
2				К	+	+				+	+	+
3				П	+	+				+	+	+
4			+	У	+	+				+	+	+
5				К	+	+				+	+	+
6				П	+	+				+	+	+
7	БРЛ	Vл = 0.3м Vп = 0 L = 0-Lmax	-	У	+	+				+	+	+
8				К	+	+				+	+	+
9				П	+	+				+	+	+
10			+	У	+	+				+	+	+
11				К	+	+				+	+	+
12				П	+	+				+	+	+
13	ВРВ	Vл = Vп = 0.3м L = 0 $\Delta H = 0-0.15м$	-	У	+	+	+	+				+
14				К	+	+	+	+				+
15				П	+	+	+	+				+
16			+	У	+	+	+	+				+
17				К	+	+	+	+				+
18				П	+	+	+	+				+
19	ВРН	Vл = Vп = 0.3м L = 0 $\Delta H = 0-0.15м$	-	У	+	+	+	+				+
20				К	+	+	+	+				+
21				П	+	+	+	+				+
22			+	У	+	+	+	+				+
23				К	+	+	+	+				+
24				П	+	+	+	+				+
25	Ф3	Vл = 0-0.15м Vп = 0-0.15м L = 0	-	У	+	+						+
26				К	+	+						+
27				П	+	+						+
28			+	У	+	+						+
29				К	+	+						+
30				П	+	+						+

В результат обробки результатов тензометрических измерений усилия в передней и задней опорах рамы исполнительного органа, давлений в гидроцилиндрах поворота и подъема, а также мощности электродвигателя исполнительного органа при различных режимах разрушения забоя комбайном КПД, в условиях конвейерного штрека коренной северной лавы пласта К₈ горизонта 450 м участка УПР2 ГОАО «Шахта «Добропольская» ГХК «Добропольеуголь» установлено:

1. При работе ПК имеют место: перекладка зазоров в системе подвески ИО, сопровождающаяся высокими динамическими нагрузками (рис.2), которые необходимо учитывать при расчетах элементов подвески.

2. Средние значения коэффициентов неравномерности K_m и вариации v нагрузок силовых цилиндров поворота (при боковом резе) и мощности приводного двигателя (во всех исследованных режимах) связаны с ее средним уровнем степенной зависимостью вида $y = ax^{-b}$ (см.

рис.3). Средние значения коэффициентов неравномерности K_m и вариации v усилий в домкратах подъема в режимах фронтальная зарубка, зарубка вверх и вниз составляют, соответственно, 1.1 и до 0.07 и не зависят от средней величины мощности развиваемой приводом ИО.

3. Суммарная средняя величина усилий в домкратах поворота стрелы $F_{np} + F_l$ подчиняется линейной зависимости от среднего уровня нагрузки приводного двигателя ИО, причем при работе гидроажимов постоянная составляющая снижается с 48 до 24 то есть на

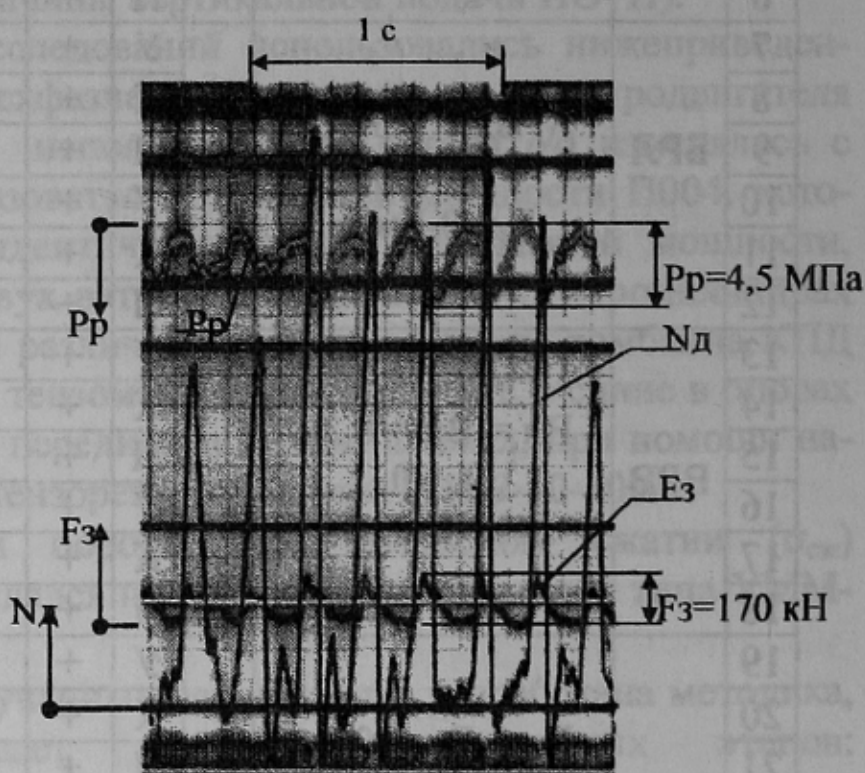


Рисунок 2 - Фрагмент осциллограммы режима зарубки ИО в почву

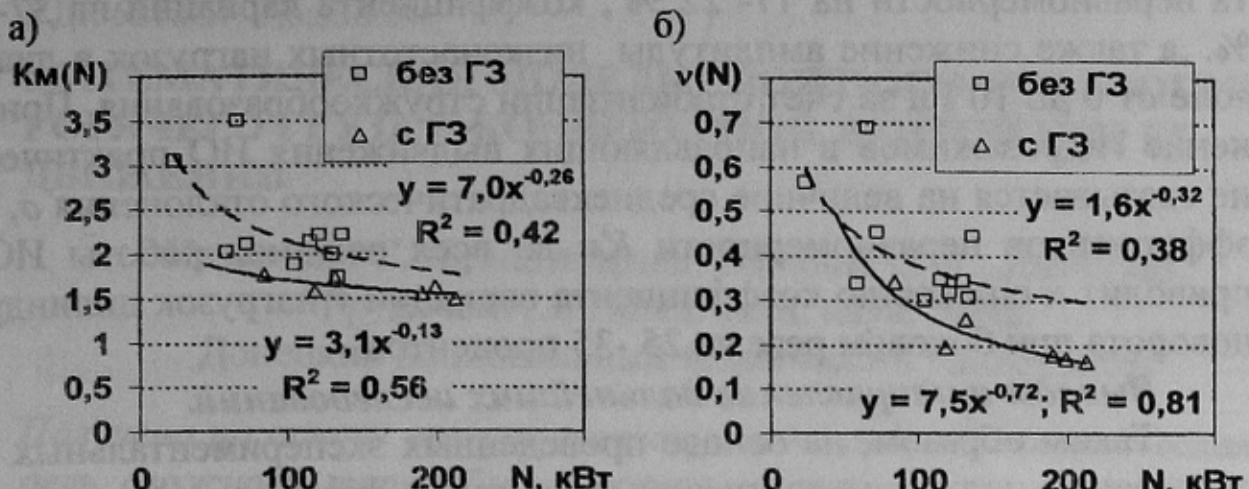


Рисунок 3 – Зависимости коэффициентов неравномерности K_m (а) и вариации v (б) от средних значений мощности привода ИО для вертикальной и фронтальной зарубок при наличии и отсутствии гидрозажимов

50 %. На среднюю величину усилия в домкратах подъема стрелы при вертикальном резе уровень нагрузки привода ИО практически не оказывает влияния (рис.4).

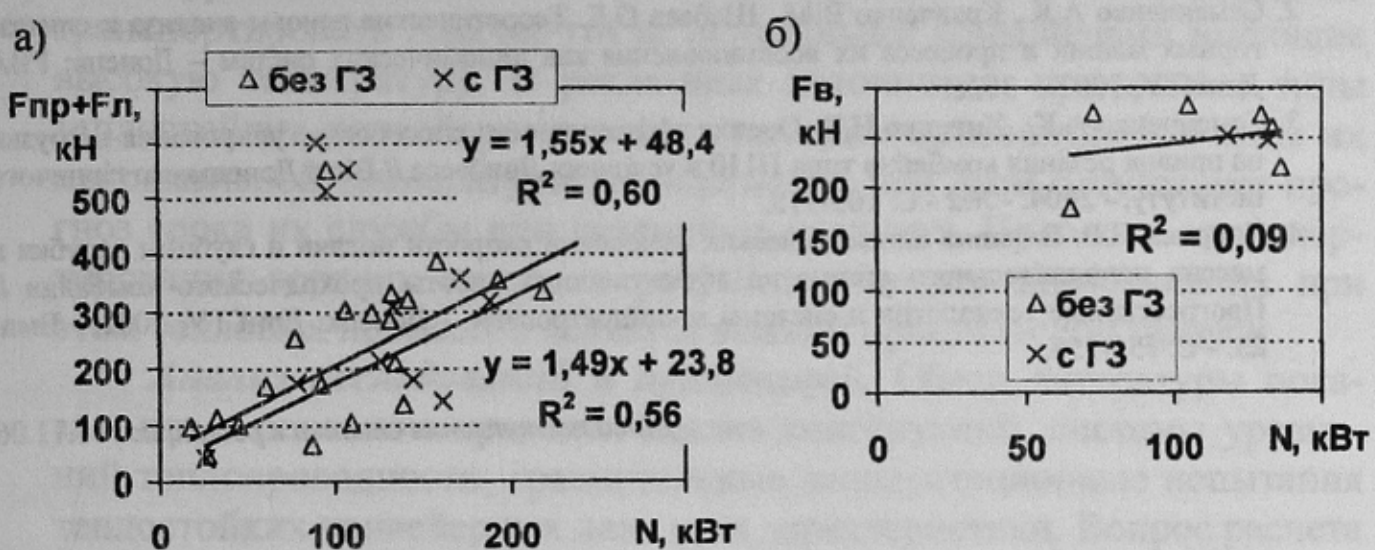


Рисунок 4 - Зависимости усилий цилиндров подачи от средней мощности привода ИО в режимах бокового реза (а) и вертикальной зарубки (б) при наличии и отсутствии гидрозажимов

4. Применение гидрозажимов в направляющих выдвижения ИО практически не сказывается на значениях K_m , v и спектральной плотности мощности привода ИО при боковом резе и обеспечивает в режиме фронтальной и вертикальной зарубки снижение коэффициен-

та неравномерности на 17- 22 % , коэффициента вариации на 37- 41 %. , а также снижение амплитуды низкочастотных нагрузок в диапазоне от 0 до 10 Гц за счет стабилизации стружкообразования. Применение гидрозажимов в направляющих выдвижения ИО практически не сказывается на величине среднеквадратического отклонения σ , коэффициентов неравномерности Km во всех режимах работы ИО и приводит к снижению коэффициента вариации v нагрузок цилиндров поворота при боковом резе на 25 -35 процентов.

Выводы и направление дальнейших исследований.

Таким образом, на основе проведенных экспериментальных исследований получены достоверные данные о фактической нагруженности системы подвески ИО ПК, установлены закономерности формирования нагруженности привода и элементов системы подвески ИО ПК при его работе в различных режимах разрушения забоя, необходимые для обоснования исходных данных для их расчета на прочность и долговечность, экспериментально подтверждена необходимость применения гидрозажимов в направляющих выдвижения ИО.

Список источников.

1. Семенченко А.К., Шабаев О.И. Семенченко Д.А., Хиценко Н.В. Перспективы развития проходческих комбайнов. Каталог-справочник Горная техника 2006. 8-15 с
2. Семенченко А.К., Кравченко В.М., Шабаев О.Е. Теоретические основы анализа и синтеза горных машин и процесса их восстановления как динамических систем – Донецк: РВА ДонНТУ, 2002. – 302с.
3. Семенченко А.К., Хиценко Н.В. Оценка эффективности способов регулирования нагрузки на привод резания комбайна типа П110 в условиях Донбасса // Вісті Донецького гірничого інституту. - 2004. - №2 - С. 109-115.
4. Хиценко Н.В. Влияние кинематических изменений скорости подачи и глубины зарубки в массив исполнительного органа на эффективность работы проходческого комбайна // Прогрессивные технологии и системы машиностроения. - Донецк: ДонГТУ, 2002. - Вып. 23. - С. 151-156.

Дата поступления статьи в редакцию: 01.11.06